

高等学校交流讲义

电机设计

下册

西安交通大学电机与电器制造教研组编译

只限学校内部使用



中国工业出版社

高等学校交流讲义



电机設計

下册

西安交通大学电机与电器制造教研組編譯

中国工业出版社

本书分上下两册出版。上册为变压器設計，主要根据季霍米罗夫著变压器計算編譯而成；下册为旋转电机設計，主要根据維諾格拉道夫等著电机設計編譯而成。上册中主要介绍了变压器設計的一些基本方法和內容，下册中主要介绍了异步电机、直流电机、凸极和隐极同步电机的設計方法和內容。

本书供高等学校电机电器专业或电机专业之交流讲义，亦可供电机制造厂工程技术人员参考之用。

电机設計 下册

西安交通大学电机与电器制造教研組編譯

*
中国工业出版社出版 (北京佟麟閣路丙10号)
(北京市书刊出版事业許可証出字第110号)

机工印刷厂印刷
新华书店科技发行所发行·各地新华书店經售

*
开本 787×1092 1/16 · 印張 29 1/8 · 字数 683,000
1961年9月北京第一版 · 1961年9月北京第一次印刷
印数 00,001—03,537 · 定价(10-6)3.40 元
统一书号：15165 · 641 (-机-125)

目 次

第一章	主要尺寸的决定	5	§ 5-5	轉子軛的磁勢	78
§ 1-1	电机常数	5	§ 5-6	磁极的漏磁系数	79
§ 1-2	电机制造中的几何相似律	8	§ 5-7	空载时的激磁磁化力, 空载特性曲綫	80
§ 1-3	派生重量与派生損耗	9	第六章	繞組的有效电阻和感应	
§ 1-4	适合定則	9	电抗的确定	83	
§ 1-5	在实际应用中对于适合定則的偏差	11	§ 6-1	繞組有效电阻的确定	83
§ 1-6	主要尺寸的决定	13	§ 6-2	繞組感应电抗的确定	86
§ 1-7	成系列电机和单独电机的計算	15	第七章	損耗和效率	95
§ 1-8	电机設計的程序	16	§ 7-1	一般概念	95
第二章	直流电机的电枢繞組	17	§ 7-2	鐵芯中的損耗	95
§ 2-1	基本概念	17	§ 7-3	机械損耗	101
§ 2-2	叠繞組	18	§ 7-4	电气損耗	105
§ 2-3	波繞組	19	§ 7-5	附加損耗	106
§ 2-4	混合(蛙式)繞組	21	§ 7-6	效率	113
§ 2-5	繞組的对称条件	22	第八章	通風的計算	114
§ 2-6	均压联接繞	23	§ 8-1	通風系統	114
§ 2-7	实用繞組接綫图和均压联接綫表	24	§ 8-2	通風的計算	118
§ 2-8	繞組的制造	26	§ 8-3	風扇	123
§ 2-9	繞組的絕緣	28	§ 8-4	徑向通風的近似計算法	131
§ 2-10	繞組的选择	33	§ 8-5	氢气冷却	132
§ 2-11	繞組的尺寸	34	§ 8-6	导体内部冷却	134
第三章	交流电机的电枢繞組	38	第九章	电机的热計算	139
§ 3-1	一般概念	38	§ 9-1	一般概念	139
§ 3-2	单层繞組	38	§ 9-2	均匀物体的发热	139
§ 3-3	双层繞組	41	§ 9-3	稳定发热計算	141
§ 3-4	短路轉子繞組	49	§ 9-4	按照等值热路圖計算稳态溫升	144
§ 3-5	繞組的制造	49	§ 9-5	热計算的簡化公式	145
§ 3-6	繞組的絕緣	54	§ 9-6	发热時間常数及不稳定发热 过程的計算	153
§ 3-7	繞組的尺寸	58	§ 9-7	电动机启动时繞組的发热	153
第四章	激磁、补偿和阻尼繞組	63	第十章	电机的机械計算	158
§ 4-1	直流电机的激磁繞組	63	§ 10-1	一般概念	158
§ 4-2	补偿繞組	67	§ 10-2	換向器的計算	159
§ 4-3	凸极同步电机的激磁繞組	67	§ 10-3	轉軸的計算	169
§ 4-4	阻尼繞組	68	§ 10-4	槽楔及扎綫的計算	175
第五章	磁路的計算	69	§ 10-5	轉子鐵芯的計算	177
§ 5-1	空气隙的磁勢	69	§ 10-6	同步电机焊接轉子支架的計算	179
§ 5-2	齿磁勢	73	§ 10-7	磁极固定的計算(同步机)	180
§ 5-3	磁极的磁勢	76	§ 10-8	直流电机主极及換向极的螺釘的	
§ 5-4	定子軛的磁勢	77			

計算.....	182	§ 13-8 激磁繞組	352
§ 10-9 机座剛度及强度計算概念	184	§ 13-9 阻尼(启动)繞組	356
第十一章 直流电机的計算	185	§ 13-10 同步电机的参数和时间常数.....	358
§ 11-1 一般概念	185	§ 13-11 同步电机的特性.....	361
§ 11-2 电磁負載	187	§ 13-12 計算例題.....	366
§ 11-3 主要尺寸的确定	188	第十四章 隐极汽輪发电机的計算	384
§ 11-4 极数的选择	191	§ 14-1 一般概念	384
§ 11-5 电枢的繞組、槽及輓	192	§ 14-2 电磁負載的选择	384
§ 11-6 换向器(整流子)及电刷.....	197	§ 14-3 定子鐵芯內徑和外徑的选择	386
§ 11-7 空氣隙	199	§ 14-4 定子鐵芯長度的选择	387
§ 11-8 磁极与机座	199	§ 14-5 定子槽数的选择	389
§ 11-9 空載特性曲綫，过渡特性曲綫	200	§ 14-6 定子槽形及其几何尺寸	389
§ 11-10 激磁繞組.....	202	§ 14-7 定子繞組有效匝数的选择	390
§ 11-11 补偿繞組.....	204	§ 14-8 定子繞組节距系数的选择	391
§ 11-12 换向的檢查和換向磁极的計算.....	205	§ 14-9 气隙尺寸的选择	392
§ 11-13 运行特性.....	211	§ 14-10 轉子外徑、內徑和長度的选择	394
§ 11-14 极限容量的电机.....	215	§ 14-11 轉子槽分度数及綫槽数的选择	394
§ 11-15 計算例題.....	220	§ 14-12 轉子槽形及其几何尺寸	395
第十二章 异步电机的計算	262	§ 14-13 轉子激磁繞組的选择	395
§ 12-1 一般概念	262	§ 14-14 參數及运行特性	396
§ 12-2 电磁負載	263	§ 14-15 隐极汽輪发电机的磁路計算	396
§ 12-3 主要尺寸的决定	264	附录 I 电枢外徑	403
§ 12-4 定子的繞組、槽和輓	270	附录 II 鋼及鐵的磁化曲綫及表格	403
§ 12-5 轉子的繞組、槽和輓	273	附录 III 电工鋼片的比耗	407
§ 12-6 空氣隙	280	附录 IV 繩組導線	408
§ 12-7 异步电机的参数	281	附录 V 电机用電刷	412
§ 12-8 运行特性及启动特性	293	附录 VI 直流电机电枢繞組絕緣舉例	415
§ 12-9 計算例題	306	附录 VII 交流电机电枢繞組絕緣舉例	420
第十三章 凸极同步电机的計算	340	附录 VIII 繩組系数	433
§ 13-1 一般概念	340	附录 IX 下册符号表	436
§ 13-2 电磁負載	341	附录 X 卡特系数	438
§ 13-3 主要尺寸的决定	342	附录 XI 磁极漏磁系数	440
§ 13-4 定子的繞組、槽和磁輓	346	附录 XII 交流电机槽漏磁感抗的計算	441
§ 13-5 空氣隙	348	附录 XIII 齒端漏磁感抗的計算	445
§ 13-6 轉子极和輓	349	附录 XIV 槽內电流外挤現象的分析	447
§ 13-7 空載特性	351	附录 XV 涡流反应系数	453
		附录 XVI 空載时的附加鐵損耗	457
		附录 XVII 厚壁圓筒承受均稱載荷時之应力 与变形計算	461

第一章 主要尺寸的决定

电机的主要尺寸系指它的电枢直徑 D 和长度 l 。对于直流电机而言，直徑 D 系指其电枢的外徑；对于一般的异步机和同步机而言，直徑 D 系指定子的內徑。

D 和 l 也主要决定了电机的其它一些尺寸：磁极的尺寸，定子的外徑，軸和端盖的尺寸等等。电机的重量和价格以及其工作特性和可靠性都决定于主要尺寸 D 、 l 和它們两者之間的比值。

因此决定主要尺寸 D 和 l 应視為电机設計的一个最基本的步骤。

尺寸 D 和 l 与电机的容量，轉速，以及所选择的电磁負荷有关。磁負荷主要决定于空氣隙中的磁通密度 B_s ，而电負載主要决定于綫負載 A (安/厘米)。

§ 1-1 电机常数

上述各因素間的关系可用下面的方法求得：对于交流电机，計算容量

$$P' = mEI \times 10^{-3} \text{ (仟伏安)}, \quad (1-1)$$

式中 m ——相数；

E ——电枢繞組中的相电勢(伏)；

I ——电枢繞組中的相电流(安)。

电枢(或定子) 中的电勢

$$E = 4k_B k_0 f W \Phi \times 10^{-8} \text{ (伏)}, \quad (1-2)$$

式中 k_B ——磁場波形系数，当磁場为正弦波形时等于1.11；

$$f = \frac{pn}{60} \text{ (赫)}. \quad (1-3)$$

为电流的频率，

式中 p ——极对数；

k_0 ——繞組系数；

W ——每相匝数；

Φ ——每极磁通；

$$\Phi = a_s \tau_s l_s \text{ (馬)}, \quad (1-4)$$

式中 a_s ——极弧計算系数；

$$\tau = \frac{\pi D}{2p} \quad (1-5)$$

τ ——为极距；

l_s ——电枢的計算长度(厘米)；

B_s ——空氣隙中的最高磁通密度(高斯)。

綫負載

$$A = \frac{2mWL}{\pi D} \text{ 安/厘米}. \quad (1-6)$$

把 (1-2) 式代入 (1-1) 式并考虑到上述的一些关系式，可得到：

$$\frac{D^2 l_s n}{P'} = \frac{6.1 \times 10^{11}}{\alpha_s k_B k_0 A B_s} \quad (1-7)$$

对于直流电机，计算容量

$$P' = E_a I_a 10^{-3} \text{ (瓦)}, \quad (1-8)$$

$$\begin{aligned} E_a &= \frac{pn}{60} \frac{N}{a} \Phi \times 10^{-8} \text{ (伏)} \\ &= \frac{pn}{60} \frac{N}{a} B_s \alpha_s l_s \frac{\pi D}{2p} \times 10^{-8} \end{aligned} \quad (1-9)$$

式中 N 为直流电机电枢绕组的有效导体数。

令 $A = I_a N / 2a\pi D$, 则

$$I_a = A 2a\pi D / N \quad (1-10)$$

将 (1-9), (1-10) 式代入 (1-8) 式, 得

$$D^2 l_s n / P = 6.1 \times 10^{11} / \alpha_s A B_s \quad (1-11)$$

将 (1-11) 式和 (1-7) 式作一比较, 可知: 对于交流电机和直流电机, 其主要尺寸和容量, 转速, 电磁负载之间的关系是类似的, 都可以式 (1-7)

$$D^2 l_s n / P' = \frac{6.1 \times 10^{11}}{\alpha_s k_B k_0 A B_s} = C_A$$

来表示。只是在用于直流电机时, 令 $k_B k_0 = 1$ 。

系数 C_A 称为阿诺特 (Arnold) 电机常数。它的倒数 $\frac{1}{C_A} = K_A$ 称为电机的利用系数。在没有径向通风槽的电机中, 电枢的计算长度 l_s 和实际长度 l_1 相差很小; 在具有径向通风槽的电机中, 计算长度 l_s 略小于实际长度 l_1 : 在异步机中约小 10~15%; 在直流机和同步机中, 约小 5~10%。极弧计算系数 $= B_{scp}/B_s = 0.63 \sim 0.72$, 式中 B_{scp} , B_s 为空气隙中之平均磁通密度和最大磁通密度。

不同型式的电机的计算容量 P' 系按给定的额定容量 P_n 来决定。

对于直流电机,

$$P' = E_a I_a \times 10^{-3} \text{ 瓦},$$

式中 $E_a = k_u U_n$; $I_a = k_i I_n$, U_n 及 I_n 为额定电压及电流。 k_u 为考虑到电枢压降而引入的系数, k_i 为考虑到并激磁场绕组中的电流而引入的系数。

对于额定容量 P_n 为 1~1000 瓦的直流发电机,

$$k_{uu} = 1.08 \sim 1.02; k_{iu} = 1.06 \sim 1.01;$$

$$k_u = k_{uu} k_{iu} = 1.14 \sim 1.03.$$

因此 $P' = k_u U_n I_n \times 10^{-3} = k_u P_n \text{ 瓦} \quad (1-12)$

对于额定容量 P_n 为 1~1000 瓦的直流电动机, $k_{us} = 0.92 \sim 0.98$; $k_{is} = 0.94 \sim 0.99$;

$$k_s = k_{us} \cdot k_{is} = 0.87 \sim 0.97.$$

因此 $P' = k_s U_n I_n \times 10^{-3} = k_s P_n / \eta_n \text{ 瓦} \quad (1-13)$

式中 η_n 为电动机的效率, 见 § 11-3。

对于异步电动机

$$P' = m E I_n \times 10^{-3} = m k_B U_n I_n \times 10^{-3} = \frac{k_B P_n}{\eta_n \cos \varphi_n} \text{ (仟伏安)}, \quad (1-14)$$

式中 $k_B = 0.98 \sim 0.93$ (图 5-9);

η_n 及 $\cos \varphi_n$ 值见 § 12-3

对于同步发电机

$$P' = mE_B I_n \times 10^{-3} = m k_B U_n I_n \times 10^{-3} = \frac{k_B P_n}{\cos \varphi_n} \text{ (仟伏安)} \quad (1-15)$$

k_B 值与給定的 $\cos \varphi_n$ 值有关 (見 § 13-3); 如果 P_n 是以仟伏安表示的, 則 $P' = k_B P_n$ 。

对于同步电动机

$$P' = mE_B I_n \times 10^{-3} = m k_B U_n I_n \times 10^{-3} = \frac{k_B P_n}{\eta_n \cos \varphi_n} \text{ (仟伏安)} \quad (1-16)$$

k_B 值与給定的 $\cos \varphi_n$ 值有关 (見 § 13-3)。

同步电动机的效率 η_n 見 § 13-3。

关系式 (1-7) 是决定电机主要尺寸的依据。許多重要的关系式都可从該式求得。 $D^2 l_s$ 值和轉子的体积成比例; 定子的体积也和它有关。因而 $D^2 l_s$ 值大略确定出电机每单位容量的体积。从 (1-7) 式可以看到: 在 B_s 和 A 不变时上述的体积和轉速 n 成反比, 亦即电机的尺寸和它的重量随轉速的增加而减少。上述的关系在正常轉速电机的实际制造中已加以証实。

从(1-7)式也可以看出: 电机的尺寸在很大程度上和所选用的电磁負載 A 及 B_s 有关: 这类負載愈大, 电机的尺寸便愈小。这也說明了为什么要力求選擇較大的 A 和 B_s 的值。但必須注意到在 A 和 B_s 的值太大时, 将使电机的部件受到不能容許的过热, 电机的运用特性恶化和制造时的困难。此外, 应該在一定的范围内選擇 A 与 B_s 间的比值, 因为这个比值决定了电机的工作特性。近代电机制造的实践和电机运用的长期經驗已使确定适用的 A 和 B_s 的范围成为可能。

由实践和經驗所确定的 A 和 B_s 的数值, 当然不是最高的数值。材料 (例如电工鋼和絕緣材料) 的改进, 选择更合理的电机几何形状 (电机尺寸間的关系) 和通風的改善, 可使电机的利用情况提高, 或者在容量相同时可使电机的尺寸减小。

A 和 B_s 两值和电机的容量和轉速有关, 或者說得更确切一些, 即和极距 τ 及轉子的圓周速度 V_p 有关。

对小容量 (τ 不大) 的电机, 必須选用較小的 A 和 B_s 值, 使不致于得到过坏的工作特性, (例如: 降低异步电动机的效率和功率因数)。

对中容量和大容量的电机, A 和 B_s 的值可以提高, 因为这对它們工作特性恶化的影晌較小。当 τ 和圓周速度愈大时, 或者当 τ 一定而极数愈多时, 可以采用的 A 和 B_s 值亦愈大。

这样, 在电机容量和它的轉速增高时, A 和 B_s 就跟着增加。因之, 电机常数 “ C_1 ” 实际上不是固定的数值, 而是随着电机容量的增加而显著减小。

現在我們再来探討变压器的計算容量表示式。变压器的計算容量:

$$P_n = m E I_n \times 10^{-3}, \quad (1-17)$$

而 $E = 4.44 f \Phi W \times 10^{-8} = 4 k_B f W B_c k_C \frac{\pi D^2}{4} \times 10^{-8}$. (1-18)

令:

$$A = \frac{W I_n}{l},$$

則:

$$I_n = \frac{Al}{W}. \quad (1-19)$$

将 (1-18) 及 (1-19) 式代入 (1-17) 式, 得到:

$$\frac{D^2 f}{P'} = \frac{10^{11}}{m k_B k_c \pi A B_c} \circ \quad (1-20)$$

将(1-20)与(1-7)式作一比較，就可看出：对于交流电机、直流电机和变压器，其主要尺寸和容量、轉速(或頻率)、电磁負載之間的关系均是类似的。其間的关系存在着内在的統一性。

§ 1-2 电机制造中的几何相似律

試研究一系列容量递增而几何形状彼此相似的电机，它們具有相同的电流密度、磁感应、轉速和极数。所謂几何形状相似系指电机相对应的尺寸間有一个相同的比值。(例如，对几何形状相似的两个电机A和B， $\frac{D_A}{D_B} = \frac{l_A}{l_B}$ 等等)。

电机的計算容量和电动势及电流的乘积成比例，即：

$$P' \equiv EI \circ \quad (1-21)$$

在頻率和轉速已定的情况下，电勢E和电樞繞組的匝数W及磁通Φ成比例。即繞組中的电动势可由下式表示：

$$E \equiv W\Phi \circ \quad (1-22)$$

把 $\Phi = BS_c$ (式中B为截面积 S_c 中的磁感应)代入上式得：

$$E \equiv WBS_c \circ \quad (1-23)$$

电流 $I = \Delta S_n$ 。

式中 Δ ——电流密度； S_n ——导体截面积。因之(1-21)式可改寫作

$$P' \equiv WBS_c \Delta S_n \circ \quad (1-24)$$

如果所用綫匝的銅的总截面积以下式表示：

$$S_m = WS_n \circ \quad (1-25)$$

那么

$$P' \equiv B \Delta S_c S_m \circ \quad (1-26)$$

面积 S_c 和 S_m 各和长度的因次 l 的平方成比例，因此：

$$S_c S_m \equiv l^2 \cdot l^2 = l^4 \circ \quad (1-27)$$

从而在当B和Δ为定值时：

$$P' \equiv l^4 \circ \quad (1-28)$$

或：

$$l \equiv P'^{\frac{1}{4}} \circ \quad (1-29)$$

有效材料(銅和鋼)的重量和它們的体积成比例，亦即和长度因次的立方成比例：

$$G \equiv l^3 \circ \quad (1-30)$$

因而：

$$G \equiv P'^{\frac{3}{4}} \circ \quad (1-31)$$

因此，在尺寸增大时，电机重量的增加比容量的增加来的慢。

可以认为：在磁感应和电流密度已給的情况下，有效材料的价格 C_{akm} 及它的損耗 ΣP 也和重量成比例：

$$C_{akm} \equiv G \equiv P'^{\frac{3}{4}} \circ \quad (1-32)$$

$$\Sigma P \equiv G \equiv l^3 \equiv P'^{\frac{3}{4}} \circ \quad (1-33)$$

如果把电机的重量、价格和它的損耗与容量对比，则得：

$$\frac{G}{P'} = \frac{C_{akm}}{P'} = \frac{\Sigma P}{P'} = \frac{P'^{\frac{3}{4}}}{P'} = \frac{1}{\sqrt[4]{P'}}. \quad (1-34)$$

因而，在 Δ 和 B 的数值保持不变时，对一系列容量递增，几何形状相似的电机，每瓩或每仟伏安有效材料的重量和价格，以及它们的相对损耗值（每单位容量的损耗）和容量的 $\frac{1}{4}$ 次方成反比。

将(1-14)式和上册(2-13)(2-15)式作一比较，我们可知：有效材料、重量、价格、损耗和容量之间的关系式不仅适用于电机，且亦适用于变压器。因之，从决定主要尺寸的关系式中，〔式(1-7)及(1-20)〕以及从几何相似律中，我们都可以看到电机和变压器之内的统一性。

这也说明了在近代电气设备上为什么有采用大容量的电机（或变压器）来代替数个总容量相等的小容量电机（或变压器）的倾向（在这种代替是可能而又合理的地方）。

在一系列几何形状相似而容量递增的电机中，假定它们的转速不变，那么，它们的转矩 M 将和容量（功率）成比例：

$$M \equiv P' \equiv l^4. \quad (1-35)$$

如果研究每分钟转数 n 各不相同的同一类型的电机，则它们的容量将和转数成比例：

$$P' \equiv M_n \equiv l^4 n, \quad (1-36)$$

亦即在电机尺寸和电磁负载 Δ 及 B_s 相同时，电机的容量和转速 n 成正比例。实际上当电机的转速增加到某一限度时，电机的容量比转速 n 增加得快，这是因为冷却条件的改善，可使 B_s 和 Δ 的数值略为增高。

上面已经指出〔等式(1-33)〕：电机的损耗和长度因次的立方成比例。但冷却面积的增加只和长度因次的平方成比例。因此，随着电机容量的增加，必须提高它们的冷却强度而放弃它们几何形状上的相似。

(1-26)～(1-36)的关系式只在决定电机容量、损耗和电机尺寸的关系时作为一般参考，而且它们也只是近似的，实际上设计容量递增的电机时，由于构造上，工艺上和其他的原因，总在某种程度上和这些关系式有出入。

§ 1-3 派生重量与派生损耗

因为有效重量与损耗根据(1-33)(1-34)式正比于容量的 $\frac{3}{4}$ 次方。所以重量及损耗和功率的 $\frac{3}{4}$ 次方之比代表某常数（如果负载密度不变并且电机几何上是相似的）。这种常数称做派生重量，它表征出电机几何尺寸的比例关系或电机的适合性，最适合的与最便宜的将是这种电机，在其中：

$$g_{np} = \frac{G}{P'^{3/4}}, \quad (1-37)$$

$$p_{np} = \frac{\Sigma P}{P'^{3/4}}, \quad (1-38)$$

为最小。

§ 1-4 适合定则

如欲设计一电机，假定其容量及转速为已知，则即使负载密度（磁通密度及电流密度）

都已选取好，所设计出的电机的几何尺寸及损耗等仍可有许多不同的能量。首先发生关于电机直径与长度之比的问题、关于电机铜铁重量之比的问题以及关于铜损、铁损之间比值的问题；其次发生关于槽宽齿宽比的问题、关于铁轭与齿的价格比的问题（在旋转电机中），以及关于铁轭与铁柱的价格比的问题（在变压器中）。在电机制造刚萌芽的时期，设计者的设计原则可以下列三个词表达出来：“假定”、“试验”、“修正”。这种设计方法主要依靠设计者的眼光、经验与艺术。第一次世界大战后，M. Vidmar 氏等导出了简单的“经济原则”及“适合性原则”。虽然这些原则的应用范围是有限的，并且是不十分完善的；但从设计方法上来讲，这些原则在现在仍旧有其一定的参考价值。对于变压器而言，这些原则包括：

- 1) 若变压器的容量及总损耗为已知，则在铜损耗等于铁损耗时，变压器的价格将为最便宜；
- 2) 若容量与总损耗为已知，则在铜价等于铁价时，变压器价格将为最便宜；
- 3) 铁轭价格应等于铁柱价格；
- 4) 铁轭中的损耗应等于铁柱中的损耗。

对于电机而言这些定则包括：

1. 电枢内的损耗应四等分分配：

- a) 有效铜中的损耗；
- b) 端接部分中的铜损耗；
- c) 齿中的损耗；
- d) 转子中的损耗。

2. 这四部分的价格应该是相等的并且各等于有效材料总价格的1/4。

这些定则的证明是很简单的。例如：第一定则——铜铁损失的分配定则。我们是从这样的条件出发来证明这个定则，即在电机模型为已知的条件下， ΔB 的乘积达到最大值时容量为最大。但在已知总损耗的条件下，当铜铁损耗相等时， ΔB 的乘积为最大，即当

$$\Delta^2 k_m G_m = B^2 k_{cm} G_{cm} \quad (1-39)$$

的时候 ΔB 的乘积为最大。

系数 k_m 及 k_{cm} 各等于在单位电流密度与单位磁通密度时每公斤铜重与铁重中的损耗，对于铜而言 $k_m = \frac{\rho}{\gamma_m}$ ，铜的密度 γ_m 以公斤/厘米³ 计，电阻系数 ρ 以欧×厘米²/厘米计，则上式中 Δ 以安/厘米² 计，对于铁而言 $k_{cm} = P_{10} \times 10^8$ ， P_{10} 为磁通密度为 10^{-4} 奥/厘米² 时铁的比耗，上式中 B 以韦/厘米² 计。

第二定则——价格分配定则——的证明比较复杂些。首先证明在已知电损耗 ΣP_m 及损耗比 $\xi = \frac{P_m}{P_{cm}}$ 的条件下，铜铁重量的乘积等于一个常数。

$$G_{cm} \cdot G_m = \text{常数}.$$

然后证明：既然总价

$$C_{axm} = c_{cm} G_{cm} + c_m G_m,$$

这里 c_{cm} 及 c_m ——铁和铜的单价，则当铜价等于铁价时，总价格为最小即：

$$c_{cm} G_{cm} = c_m G_m. \quad (1-40)$$

损耗与价格按四等分分配的定则可利用派生重量或派生价格最小值的条件来证明。我

們假定任何一个电机模型，其所有尺寸都保持不变，仅将其长度改变。

这样，容量将正比于长度 x ，而总价将按下式变动：

$$C_{akm} = C_a + \tilde{C}_a x,$$

式中 C_a ——繞組端接部分的价格保持不变；

\tilde{C}_a ——全部有效材料每单位长度的价格。

派生价格

$$C_{np} = \frac{C_{akm}}{x^{3/4}} = k \frac{C_a + \tilde{C}_a x}{x^{3/4}}.$$

因此，当

$$C_a = \frac{1}{3} \times \tilde{C}_a = \frac{1}{4} \times (x \tilde{C}_a + C_a) = \frac{1}{4} C_{akm} \quad (1-41)$$

时，派生价格将为最小。这可由方程式

$$\frac{\partial C_{np}}{\partial x} = 0$$

得到。

这样繞組端接部分的价格等于全部有效部分（銅与鐵）价格的 $1/3$ 或有效材料总价的 $1/4$ 。

用类似的方法，即只改变槽的高度而电枢长度不变，可証明当鐵輥价格等于有效材料总价的 $1/4$ 时，派生价格为最小，即当

$$C_R = \frac{1}{4} C_{akm}. \quad (1-42)$$

按公式 (1-40) 銅价等于鐵价。由此得出价格按四等分分配的定則。同样的，由派生損耗的最小值出发可証明損耗按四等分分配的定則。

§ 1-5 在实际应用中对于适合定則的偏差

研究电机和变压器的各种結構，我們可发现（在个别情况下）十分“适合”的电机，但在很多情况下設計出的电机和变压器都違背了适合原則，并且有时違背得很厉害。

它的主要原因有下列各点：

1. 設計一个电机不仅应使其价格为最小，并且主要地應該获得良好的工作特性。为了得到电机的所給定的特性（电的特性、参数、短路电流、电压降及功率因数等），我們时常遇到与适合原則相矛盾的要求，所有这些要求我們称之为技术要求，我們当然應該首先滿足这些要求。

例如：在快速汽輪发电机中，輥的損耗与价格超过齒的損耗与价格 $3\sim4$ 倍，有时超过还要多，而适合原則要求輥損等于齒損、輥价等于齒价。如果我們将这些損耗与价格作成相等，则必須将齒高增加到不能容許的高度，并且該电机的工作特性将十分不完善了。

2. 在实际应用中适合原則本身存在的矛盾。实际应用时不可能（并且亦不恰当）同时滿足“損耗四等分”和“价格四等分”的原則。

在变压器中当銅損等于鐵損时，在个别情况下得到太小的电流密度值。

由公式

$$\xi = \frac{P_m}{P_{cm}} = \frac{\Delta^2 k_m G_m}{B^2 k_{cm} G_m},$$

得出

$$\Delta = B \sqrt{\xi \frac{k_{cm} G_{cm}}{k_m G_m}}. \quad (1-43)$$

以銅鐵價格比

$$\Psi = \frac{C_{cm}}{C_M} = \frac{G_{cm} m_{cm}}{G_m m_m}. \quad (1-44)$$

代入 (1-43) 式，得到

$$\Delta = B \sqrt{\xi \Psi \frac{k_{cm} m_m}{k_m m_{cm}}}. \quad (1-45)$$

在理想的适合原則下

$$\xi = 1, \Psi = 1.$$

对于电机而言

$$\xi = \frac{\text{槽中銅損}}{\text{齒中的損耗}},$$

$$\Delta = B \sqrt{\xi \frac{k_{Fe}}{k_{Cu}} \frac{G_{Fe} z}{G_{Cu} n}}. \quad (1-45a)$$

如果取價格比 $\frac{m_{Cu}}{m_{Fe}} = 4$ ，而損耗系数 $k_{Fe} = 1.6 \times 10^8$ ，

$$k_{Cu} = \frac{2.8 \times 10^{-6}}{8.9} \times 1000 = 2.6 \times 10^{-4},$$

則得

$$\Delta = 1.57 \times 10^6 B.$$

例如：对于变压器而言，由于損耗与溫升的限制，磁通密度 B 很少有大于 1.5×10^4 韋/厘米²者，这样由 (1-43) 式，电流密度 Δ 将等于 235 安/厘米² 即 2.35 安/毫米²，这个电流密度值常常显示出过于低小（在良好的冷却系統下）。設計者被迫違背損耗与價格定則，并且按照Vidmar 的意見應該均匀地違背这两个定則。設計者根据 (1-44) 式希望提高电流密度值取

$$\xi > 1,$$

同时

$$\Psi > 1.$$

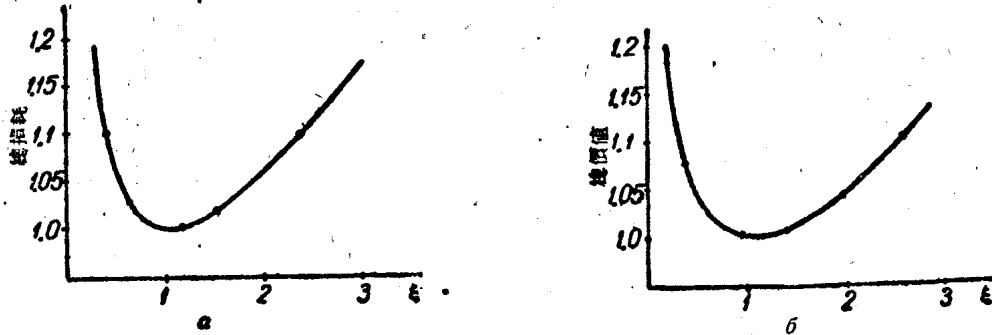


图1-1 适合定則的偏差。

这样就價格而言，当 $\xi = \Psi$ 时，價格的增高为最小，并且損耗与價格定則不再是各自独立的。

由图 1-1 a、b，可知即使在頗大的程度上違背了适合定則，电机價格并不增加很多，但是違背得越远电机價格就越大。图 1-3 a 表示出对于适合原則偏差达到 200% 时，总損耗增加 6%；偏差达到 300% 时总損耗增加 16%。对于價格定則亦有类似的情况，如图 1-1 b 所示。

当 ξ 大大地超过 1 时， $\Psi = \xi$ 就不可能了，因为如果 $\Psi = \xi$ ，由 (1-44) 式得出的 Δ 值将过大，超过温升所许可的限度，因此当 $\xi = 3 \sim 4$ ， $\Psi \approx 1$ 。

§ 1-6 主要尺寸的决定

上述的适合定则由于在实用中的偏差，一般不直接根据这些原则来决定主要尺寸，这些原则只能作为设计时的参考。

决定主要尺寸时，一般采用 (1-7) 式作为计算之基础。由 (1-7) 式

$$\frac{D^2 l_s n}{P'} = \frac{6.1 \times 10^{11}}{\alpha_s k_s k_0 A B_s} \circ$$

可知电机的主要尺寸和电磁负载 A 及 B_s 有关。如果正确选择 A 和 B_s ，那末从 (1-7) 式可以求得 $D^2 l_s$ 。以后的问题便是要从已求得的 $D^2 l_s$ 来分别决定 D 和 l_s 。决定 D 和 l_s 系根据所选用的比值

$$\lambda = \frac{l_s}{r} \circ \quad (1-46)$$

(1-7) 式中系数 α_s ， k_s ， k_0 均在某一定的范围之内，变化很少，转速 n 一般是给定的， P' 可根据给定的 P_n 初步算出，因之决定尺寸 D 和 l_s 主要在合理的选择电磁负载 A 和 B_s 以及尺寸比 λ 。

a) 电磁负载 A 、 B_s 的选择

由 (1-7) 式可知为了缩小电机的体积 $D^2 l_s$ ，必须选择较高的电磁负载 A 和 B_s ，但较高的 A 和 B_s 将对于电机的工作特性温升等产生不良的影响。如果我们选取较高的 A 将导致：

- 1) 电机尺寸及体积较小，可以节省钢铁材料。
- 2) 需要较多的铜，这是由于电机的尺寸小了。在 B_s 为一定的条件下电机的磁通小了，这时为了产生一定的感应电势，必须采用较多的匝数因之用铜量增多了。
- 3) 增加了绕组单位表面面积所产生的铜耗，因而增加了它的温升。绕组有效部分（在槽中的部分）的损耗为

$$P'_{sa} = m W r' I^2, \quad (1-47)$$

式中 r' ——每根导体在槽部分的电阻，

$$r' = \rho \frac{l_1}{s_n}; \quad (1-48)$$

式中 s_n ——导体截面。

将 (1-48) 式代入 (1-47) 得

$$P'_{sa} = 2 m W \rho l I \Delta.$$

每单位电枢表面的铜耗

$$q = \frac{P'_{sa}}{\pi D l} = \frac{2 m W \rho l \Delta}{\pi D l} = \rho \Delta A [\text{瓦/厘米}^2]$$

式中 ρ 以欧·厘米²/厘米计， Δ 以安/厘米²， A 以安/厘米计。

如果 Δ 以安/毫米²， A 以安/厘米， ρ 以欧·毫米²/米计，

则

$$q = \frac{\rho \Delta A}{100} \text{ 瓦/厘米}^2. \quad (1-49)$$

- 4) 改变了电气参数，因为在其他条件不变的情况下，绕组电阻的标么值随 A/B_s 比

值成正比的。这将影响到电机的工作特性。

5) 在 B_s 为一定的条件下, 由于铁重减小, 铁耗将减小。

由上述分析可知线负载 A 的大小不仅和电机的尺寸、重量有关, 并且与电机的工作特性亦有密切的关系。因之在设计时必须选择合理的 A 值, 对于一般交直流电机来讲, A 值约为 200~500 安/厘米, 詳見第十章~第十四章。

如果我們选取較高的 B_s 将导致:

- 1) 电机尺寸及体积較小, 可以节省鋼、鐵材料。
- 2) 增加了铁耗, 因为铁耗与磁通密度的平方成正比的。
- 3) 增加了硅鋼片的饱和程度, 因之增加了激磁电流的数值; 激磁电流的增加使异步电机的功率因数降低, 而且在电机的激磁繞組中由于激磁电流的增加而使銅耗增加。
- 4) 改变了电气参数及工作特性。理由見 § 1-5 a。

由上述分析, 可知磁通密度 B_s 的大小不仅和电机的尺寸、重量有关, 并且与电机的工作特性亦有密切的关系。因之在设计时必須选择合理的 B_s 值。对于一般的交直流电机来讲, B_s 值约为 6000~8000 高, 詳見第十章~第十四章。

6) 尺寸比 $\lambda = l_s / \tau$ 的选择

前面已經指出, 电机的主要尺寸不仅和电磁负载 A 和 B_s 有关, 并且与所选用的尺寸比 $\lambda = l_s / \tau$ 亦有密切的关系。

对一般的直流电机, 普通选用 $\lambda = 0.6 \sim 1.5$ 。 λ 愈大, 所得的电机也就比較长。按照材料的消耗, 机身长的电机价格可以較廉。这是因为在这类电机里, 纕組的銅利用的比較好。此外电机的结构部件也比較輕。不过由于纏組換向元件中的电抗电动势增大, 整流的情况变坏, 同时, 冷却的条件也較差, 供在这类长的电机上不得不采用較复杂的軸向通風。对小容量电机, 常常必須采用較低的 λ , 以便在电樞上获得足够的槽数。在某些情况下, 采用提高的 λ 值是为了要得到不大的飞輪轉矩 (GD^2)^① 和在起动时减小电机的升速時間和損耗。

对容量不大的异步机, 选择 $\lambda = 0.5 \sim 1.2$; 对大容量的电机, 則选择 $\lambda = 0.9 \sim 2$, 其中較大的 λ 系在极数較多时采用。电机的过載能力和它的 $\cos \phi$ 与 λ 值有关, 最适宜的数值约为 $\lambda = 1 \sim 1.3$ 。当 $\lambda = 1.5 \sim 3$ 时, 可得到在銅的重量和損耗上最适宜的电机。选择 λ 同时也要考虑到电机通風系統的設計。軸向通風时所取用的 λ 比徑向通風时所取用的来得大。在徑向通風时, 虽然需要消耗較多的材料, 但是因为定子和轉子的装配以及纏組的安放容易, 而且常常不需要裝置特殊的通風設備, 結果在热量分配較均匀, 制造困难較小的情况下, 电机的运用更为可靠。

对凸极同步电机, λ 和极数很有关系。正常的电极采用 $\lambda = 0.9 \sim 2$ (当容量为 100~1000 瓦), 其中上限属于极数較多的电机。对水輪发电机中轉速高者, 必須增大 λ , 因而減小轉子的直徑, 使不至于有过高的圓周速度。相反的, 对必須具有較高轉动慣量的电机, 則必須减小 λ , 以得到較大的轉子直徑。

这样, 我們看到: 关于决定 l_s 对 τ 的比值亦即在极数已知时选择 l_s 对 D 的比值的問題, 必須在考虑很多情况后解决。这个問題主要要在經驗数据的基础上亦即在合理設計的

^① 即轉动慣量。

电机数据的基础上求解答；这些电机的制造和运用，已証实它們制造时的简单和經濟、运用时的可靠性、效率、 $\cos\varphi$ 和其他工作特性等的优良品质。

在以后研究各式电机的計算时，对 λ 的選擇將有更詳細的叙述。

§ 1-7 成系列电机和单独电机的計算

在电机制造厂中，很少碰到要設計单独的电机，只有当这个电机和制造厂內成批生产的电机，例如，在容量、运用特性和結構等相差很大时，才需要这种設計。即在这种情况下，也必須考慮到工厂內現有的正規設備（例如冲模、模型、样板、量具等），使所選擇的电机尺寸，有可能利用这些正規設備。

通常需要設計的是成系列容量递增的电机——在结构上有統一的共同性并作为大批生产的电机。

成系列电机的設計是一个复杂而又重要的任务，因为在設計时，必須考慮到很多的要求，而它們又往往是互相矛盾的：一方面要求电机在制造时尽可能采用較少的材料，要求它們的結構簡單、价格低廉，但另一方面又要求电机工作可靠，电机的特性不比国家标准所規定的特性为差。

所有这些要求都只能部分的滿足。設計者必須選擇适当的解决办法。在某种程度上，可放弃掉，例如單純由材料消耗觀点出发所认为是最适宜的电机尺寸的比值。

在設計成系列的电机时，合理的生产組織和生产工艺等問題具有重大的意义。而这些問題又和零件的划一和結構組合、零件的标准化等問題有密切的关系（这里也牽涉到“互換性”的問題）。

对异步和同步电机，就由于这些問題迫使設計者不得不这样選擇定子的外徑，即在单独改变定子的內徑并保持或仅稍稍改变电机长度的情况下，便可以得到不同容量和轉速的电机，并且对极数相同的 2~3 种电机，可以保持相同的內徑而只改变它們的长度。

对数种容量和轉速的直流电机，設計者也同样地選擇相同的电樞外徑，而仅改变电樞的长度。

这样选择的結果，大大地减少了冲压轉子和定子或磁极鋼片所需的冲模数量，减少了机座和軸承端盖的模型。对成系列的电机，可以采用同一的軸徑、軸承、整流子和繞組支架，并大大地减少了量具的数量等。

在选择异步和同步电机的定子外徑或直流电机的电樞外徑时，必須考慮电工鋼片的最合理的裁剪率，直流电机电樞标准化直徑列于附录 I 表 I-1 中；当电樞直徑 D 大于 368 毫米时，建議采用表 I-3 中所列的尺寸。

异步电机和同步电机定子的标准化外徑列于附录 I 表 I-3 中；当直徑 D_a 大于 990 毫米时，必須采用扇形片，这时的标准化可參閱該表下首所列尺寸（这些尺寸尚未最終定案）。

已經指出，在成系列交流电机中，某一种定子外徑，往往有数种适合本身极数的內徑和它配合，以便能够应用同一种定子外壳，軸承端盖和其他的部件。这时，电机的长度可以保持不变，或者变化很少。对极数相同的交流电机，单靠长度的改变，可以得到不同的容量。这种长度的变化，一般只限于两种。当定子的直徑相同时，交流电机線槽的尺寸一般保持不变，它和定子的长度及电压无关。

在成系列的直流电机中，每一种电枢外径配合一个定子内径，同时，对若干种容量和轉速的电机，可以保留下同一的机座和磁极的冲模，但槽数和它們的尺寸却跟着电枢长度和电压而改变，这又和限制选择槽数的整流子有关。

有时在选择主要尺寸时，必須預見到各种变型的电机制造的必要性，例如，容量自1~100 匹，大量应用的各式异步电动机。这里必须注意，如何做到防护，封閉和防爆，以及如何提高起动轉矩和最大轉矩，或如何提高轉差率。

在所有情况中；当选择主要尺寸的比值时，必須拿所推荐的 λ 值作为根据。选择此值須适合于所采用的通風系統，并考虑到对两相邻型式获得可以接受的 λ 值的必要性，此两相邻型式具有相同的定子直徑或电枢直徑。

§ 1-8 电机設計的程序

这里只指出电机計算的一般程序。在第十一、十二、十三、十四章中有比較詳細的叙述，在那几章里将研究不同型式的电机的計算方法和程序。

首先决定主要尺寸 D 和 l_s ，对于异步电机和同步电机，同时須决定其定子外徑 D_a 。选择的直徑应考虑到能适用于容量相近轉速相同的电机。

决定主要尺寸时，最好把各种方案列成表格，加以比較，从中选择最适宜的 λ 值。

异步电机在决定主要尺寸以后，就設計定子轭、定子槽，和計算定子繞組，然后选择气隙尺寸，設計轉子轭、轉子槽，和計算轉子繞組等；对于同步电机，設計程序类似于异步电机：首先設計定子、气隙，然后設計轉子。对于直流电机，在决定主要尺寸以后，应首先設計电枢繞組、槽和整流子，然后在选择了气隙尺寸以后，再設計磁极、机座和激磁繞組。

决定电机的主要尺寸以及决定电机有效部分的一些其他尺寸都属于电磁計算的范畴。其他如磁路計算，繞組参数的計算，損耗、效率、工作特性、启动特性等等的計算亦属于电磁計算之列。电磁計算完成以后，即可知道所設計的电机是否滿足所給定的以及国家标准所規定的技术条件。

最后进行电机的通風計算、发热計算、机械計算和結構設計。必須注意，在进行通風及机械計算之前，应作出电机结构的草图。